<u> — ФИЗИКОХИМИЯ РАСТВОРОВ —</u>

УДК 544.341.2.001.24+546.591

О ПОЛИМЕРНЫХ КОМПЛЕКСАХ ЗОЛОТА(I) С ГЛУТАТИОНОМ В ВОДНОМ РАСТВОРЕ

© 2024 г. И. В. Миронов^{а, *}, В. Ю. Харламова^а

^аИнститут неорганической химии им. А.В. Николаева СО РАН, пр-т Академика Лаврентьева, 3, Новосибирск, 630090 Россия

*e-mail: imir@niic.nsc.ru

Поступила в редакцию 11.04.2024 г. После доработки 28.05.2024 г. Принята к публикации 31.05.2024 г.

Исследованы процессы с участием глутатионатных комплексов золота(I) в водном растворе при $t=25^{\circ}\mathrm{C}$ и I=0.2 М (NaCl) в интервале рН 7.20-6.06 ($C_{\mathrm{Au}}=(5-10)\times10^{-4}$ М). С помощью масс-спектрометрии показано, что при $C_{\mathrm{GS}}>C_{\mathrm{Au}}$ помимо мономерной $\mathrm{Au}(\mathrm{GS})_2^*$ могут существовать полимерные формы $\mathrm{Au}_4(\mathrm{GS})_4^*$, а также $\mathrm{Au}_n(\mathrm{GS})_{n+1}^*$, где $n\leqslant 4$, символ * означает сумму форм разной степени протонирования. Согласно УФ-спектроскопии, в интервале $0.5< C_{\mathrm{GS}}/C_{\mathrm{Au}}<3$ для описания всех спектров в пределах ошибки эксперимента в виде линейной комбинации достаточно спектров четырех форм, включая $\mathrm{Au}(\mathrm{GS})_2^*$. При снижении рН доля $\mathrm{Au}(\mathrm{GS})_2^*$ снижается. Константа равновесия 0.25 $\mathrm{Au}_4(\mathrm{GSH})_4^{4-}+\mathrm{GSH}_7^-=\mathrm{Au}(\mathrm{GSH})_3^{3-}+\mathrm{H}^+$ равна $\mathrm{lg}K=-4.4\pm0.1$ (I=0.2 M, NaCl).

Ключевые слова: соединения золота(I), тиолы, полиядерные комплексы

DOI: 10.31857/S0044457X24100117, EDN: JIBKNW

ВВЕДЕНИЕ

Высокоустойчивые комплексы золота(І) с тиолсодержащими лигандами находят широкое применение. Так, они давно используются в медицине в терапии ревматоидного артрита [1-3]. Из них в наибольшей степени изучен тиомалатный комплекс (миокризин), который в водном растворе имеет циклическую тетрамерную структуру. Кроме того, полимерные тиолатные комплексы золота(I) широко применяются для функционализации наночастиц золота, получения слоистых структур и люминесцентных материалов [4–11]. Хотя в большинстве случаев их получают в растворе, данных об их строении и тем более устойчивости мало. В данной работе рассмотрены полимерные (полиядерные) комплексы золота(I) с глутатионом (GSH₂) в водном растворе и некоторые процессы с их участием. Выбор лиганда обусловлен как его биологическим значением, так и тем, что по сравнению с другими тиолами он гораздо чаще используется для получения люминесцентных материалов. Некоторые аспекты комплексообразования золота(I) с глутатионом изучены в работе [12]: протонирование, ступенчатое замещение лиганда в комплексе $Au(GS)_{2}^{5-}$ на $S_{2}O_{3}^{2-}$ и определение

его стандартного потенциала. Без детализации отмечено образование полимерных форм в растворе и получение твердой фазы комплекса (—Au(GSH₂)—)_п. Цель настоящей работы — более детальное исследование системы полимерных комплексов в растворе, а именно: определение вида форм, степени полимеризации, других свойств этих малоизученных соединений, а также изучение возможности определения констант равновесий их образования с учетом того, что общие надежные подходы к изучению полимерных комплексов в растворе отсутствуют.

ЭКСПЕРИМЕНТАЛЬНАЯ ЧАСТЬ

Исходный раствор $HAuCl_4$ готовили согласно [13]. Кроме того, в работе использовали хлористый натрий (ос. ч.), соляную кислоту, безводный сульфит натрия (ч. д. а.), L-глутатион восстановленный (АО "Вектон", Россия, >98%); раствор NaOH (без CO_2), стандарт-титр для pH-метрии (pH 6.86), бидистиллированную воду. Комплекс золота(III) с этилендиамином $Au(en)_2Cl_3$ получали по методике [14].

Все эксперименты проводили при 25°С (водный термостат U2) и I = 0.2 М (NaCl). Растворы Na_2SO_3 (0.2 М) и глутатиона (0.02 М) готовили не-

посредственно перед экспериментом из безводных реактивов. Для снижения влияния процесса окисления SO_3^{2-} и GSH_3 растворенным кислородом ($C_{02\,\text{max}}\sim 2.5\times 10^{-4}\,\text{M}$ при 25°C) использовали прокипяченную воду, ограничение времени эксперимента (<1 ч), отказ от очень низких концентраций компонентов, небольшой (до 10%) избыток сульфита. Пропускание через раствор Ar в этой системе нежелательно, поскольку это часто приводит к неконтролируемому диспропорционированию: $3\text{AuCl}_2^- = 2\text{Au}^0 + \text{AuCl}_4^- + 2\text{Cl}^-$ с выделением Au(0).

Рабочие растворы для УФ-спектрофотометрических экспериментов готовили восстановлением $AuCl_4^-$ до $AuCl_2^-$ ($C_{Au} = (1-5) \times 10^{-3}$ М) рассчитанным количеством сульфита натрия $(AuCl_4^- + SO_3^{2-} + H_2O = AuCl_2^- + SO_4^{2-} + 2H^+ + 2Cl^-)$ в присутствии NaCl (0.2 M) и добавки NaOH $(n_{\text{NaOH}}/n_{\text{Au}}=3.00)$ в течение 20—30 мин. Для ускорения процесса возможен небольшой подогрев раствора ($<30^{\circ}$ C). Полноту восстановления контролировали по УФ-спектру: пробу раствора подкисляли НСІ и проверяли поглощение при 314 нм. Полученный раствор имеет рН 5-6 и является метастабильным к диспропорционированию, однако в присутствии NaCl появление Au(0) обычно не наблюдается в течение нескольких часов. После окончания восстановления к точному объему полученного раствора добавляли фосфатный буфер, раствор GSH, и затем записывали УФ-спектр. Равновесие в системе комплексов золота(І) устанавливается быстро: спектры растворов, снятые сразу после приготовления и затем через 10 и 20 мин, совпадают.

Основные исследования проводили при рН 7.20, 6.66, 6.36 и 6.06, создаваемых при помощи фосфатных буферов ($C_{6y\phi} = 0.1 \,\mathrm{M}$), которые готовили из стандарт-титра для рН-метрии (рН 6.86) добавлением щелочи или кислоты (HCl). Несколько измерений было выполнено при рН 2.00 и 10.5, создаваемых HCl или щелочью.

Измерения рН проводили при помощи стеклянного комбинированного электрода ЭСК 10301/7 на приборе Radelkis OP-208. Электрод калибровали по растворам сильной кислоты HCl в 0.2 M NaCl, и, следовательно, измеряемые величины имели смысл рН = $-\lg [H^+]$.

УФ-спектры поглощения записывали на спектрофотометре СФ-2000 в диапазоне длин

волн 250—400 нм, l = 0.05—1 см, раствор сравнения — вода.

Растворы для масс-спектрометрии готовили без буфера и NaCl. К раствору комплекса золота(III) (Au(en) $_2$ Cl $_3$ или AuCl $_4$ -, $C_{\rm Au}=1.0\times 10^{-3}$ M) добавляли глутатион GSH $_3$ (до $C_{\rm GS}=2.0\times 10^{-3}$ или 5.0×10^{-3} М), частично нейтрализованный щелочью ($C_{\rm NaOH}/C_{\rm GSH_3}=2$). Масс-спектры снимали через ~ 1 ч после приготовления растворов на приборе Agilent 6130 в ЦКП ИНХ СО РАН.

Для определения числа поглощающих форм находили число линейно независимых УФ-спектров, необходимых для описания всего массива (обычно 20 спектров при каждом значении рН для всего интервала соотношений $C_{\rm GS}/C_{\rm Au}\sim 0.5-3$); $\lambda=270-400$ нм, $\Delta\lambda=1$ нм. По сравнению с обычным методом Уоллеса и Каца [15], мы предпочли способ, использующий линейную регрессию: поиск минимального набора спектров $\{A_i(\lambda)\}$ из всего массива спектров, пригодного для описания остальных спектров в виде $A_j(\lambda)=\Sigma$ $a_iA_i(\lambda)$ со стандартным отклонением аппроксимации (s_A) , близким к погрешности определения A. Приемлемым описанием считалось, если $s_A<0.01$.

Расчет констант проводили при помощи нелинейного метода наименьших квадратов. Детали описаны в работе [13]. Разложение УФ-спектров на отдельные гауссианы проводили согласно [16]: вначале при помощи синтезатора спектров, добавляя гауссианы и изменяя их характеристики, визуально передается форма выбранного спектра, а затем проводится уточнение параметров полос (A_{0i} , v_{0i} , $\delta_{1/2i}$) с помощью нелинейного МНК.

РЕЗУЛЬТАТЫ И ОБСУЖДЕНИЕ

Для золота(I) (а также серебра(I) и меди(I)) в растворе и в твердом виде наиболее характерны два вида комплексов с тиолсодержащими лигандами (RS $^-$): полимерные (-AuS(R) $^-$) $_n$, в которых мостиковыми атомами выступают атомы серы, и обычные мономерные *бис*-тиолаты RS $^-$ Au $^-$ SR. Координационный узел S $^-$ Au $^-$ S является почти линейным, кроме нечастых случаев, когда к атому золота(I) координированы три лиганда, например два тиолата и фосфин [17].

В растворах полимерные комплексы обычно доминируют при невысоких соотношениях $C_{\rm RSH}/C_{\rm Au}$, а также в области низких рН. Следует отметить, что значение полимерного строения

тиолатных комплексов для медицинского применения сильно преувеличено. При попадании в физиологические условия, где в большом избытке по отношению к золоту присутствуют другие тиолаты (цистеинсодержащие пептиды и белки), из-за быстрого обмена лигандов полимерные комплексы золота(I) быстро переходят в мономерные бис-тиолатные формы с лигандами, взятыми из окружающего раствора [18]. В работах по функционализации наночастиц тиолатами золота(I) и получению люминесцирующих материалов, наоборот, важны именно полимерные комплексы, поскольку с ними связана способность к люминесценции [7, 8, 10, 11, 19]. В части этих работ сделаны попытки охарактеризовать образующиеся комплексы в растворе, в первую очередь их размер. Однако используемые процессы получения конечного материала трудно описать точным набором реакций и продуктов, поскольку процедура включает не только восстановление HAuCl, до золота(I) тиолом (что уже приводит ко многим продуктам [20]), но и дальнейшую обработку полученной смеси большим избытком NaBH, для получения нанокластеров.

Строение полимерных тиолатов золота(I) в твердом виде разнообразно. Так, в [17] представлены данные DFT-расчетов в сравнении с литературными данными для циклических структур $\mu u \kappa n o - (-M - S(R) -)_{\mu}$. При этом в структурах с n = 4 [21, 22], например [(t-BuO)₂SiSAu]₄, наличие объемных лигандов не мешает образованию почти правильного квадрата: углы AuSAu близки к 90° , SAuS — к 180° ; расстояния Au—S равны 2.28-2.29 Å. Есть примеры с n = 5 и 6 $(SR = ButPhS^- и 2,4,6(i-Prop)PhS^-)$ и смешанных 5 + 6 (SR — тетраацетилтиоглюкоза) [23–25]. Помимо циклических возможны другие варианты. В работах [11, 26] показано, что комплекс [Au(SPh)], в твердом виде образует бесконечные полимерные двойные спирали с тетрагональным сечением. В работе [19] сообщают о структуре $[Au(p-SPhCO_2H)]_n$ в виде полимерных зигзагообразных цепей с необычными углами SAuS и расстояниями Au-S (2.27-2.37 Å).

Для биологически активных тиолатов известны данные только для комплекса с тиомалатом $(Na_2CsH)_{0.5n}[AuTM]_n$, где $TM = {}^-O_2C - CH_2 - CH(S^-) - CO_2^-$ [27]. Как и в случае $[Au(SPh)]_n$, структура состоит из полимерных -S(R) - Au - S(R) - Au - спиралей, имеющих

близкое к тетрагональному сечение. Для тиомалата есть данные о структуре и мономерного комплекса $[(NH_4)_5Au(TM)_2]$ [28]. Несмотря на совершенно разный характер связи Au-S в полимере и мономере (мостиковый атом S или обычная монодентатная координация), различие длин связей очень невелико и не превышает 0.02-0.03 Å, а возможно и меньше.

При растворении структура комплекса может меняться. Так, отмеченное выше соединение тетраацетилтиоглюкозы с n = 5 + 6, по данным ЯМР и МС, переходит в (AuRS)₄ (растворители C_6H_6 , CH_2Cl_2 и CH_3CN). В целом о строении полимерных комплексов в растворе известно мало, и имеющиеся данные противоречивы. Показательным примером являются многочисленные исследования структуры тиомалатного комплекса. Комплекс Na, (AuTM), хорошо растворяется в воде и не проявляет себя в реакциях замещения лигандов. Уже из этого факта следует, что, скорее всего, в растворе он образует полимерный циклический анион $(-AuTM-)_n^{-2n}$. Долгое время существовало устойчивое представление, что комплекс в растворе является гексагональным, $(-AuTM-)_6^{12-}$, причем данные различных спектроскопий не противоречили этой гипотезе. Другие авторы [27, 29, 30], указывая на близость кривых радиального распределения для полимерного тиомалатного комплекса в твердом виде и в растворе, предполагали одинаковое (спиральное) строение комплексов в этих состояниях. И лишь в работах [31, 32], большей частью с помощью масс-спектрометрии, было показано, что основной формой этого комплекса в растворе является тетрамерная. Учитывая также примеры в работах [21, 24], можно предположить, что для многих тиолатных комплексов в растворе, имеющих состав RS/Au = 1/1, в том числе с объемными лигандами, тетрамерное строение является наиболее устойчивым. С другой стороны, при изменении соотношения $C_{\rm RS}/C_{\rm Au}$ присутствие в растворе лишь одной (даже устойчивой) формы маловероятно. Так, переход от $(-AuRS-)_n$ к мономеру $Au(RS)_2$ с ростом $C_{\rm RS}/C_{\rm Au}$ должен проходить через раскрытие цикла и появление в растворе промежуточных форм (Au_i(RS)_{i+1}, $n \ge i > 1$), которые могут быть только линейными полимерами (олигомерами). При добавлении недостатка тиола к раствору AuCl₂ [12] возможно образование линейных форм Au₁(RS)₁₋₁Cl₂ с концевым расположением хлоридных лигандов Cl⁻.

Изученность циклического комплекса с тиомалатом (-AuTM-) $_4^{-8}$ [3, 13, 31–34] вызвана его реальным длительным медицинским применением. Однако более перспективными для медицинских исследований являются комплексы с глутатионом — одним из основных компонентов цитоплазмы.

В данной работе для нейтральной молекулы глутатиона мы используем обозначение GSH_3 вместо общепринятого GSH. Депротонированный остаток глутатиона (GS^{3-})

содержит 4 группы, способные присоединять ионы H^+ : две $-CO_2^-$, $-NH_2$ и $-S^-$:

$$GSH_{i-1}^{i-4} + H^+ = GSH_i^{i-3}, K_{Hi}^{i-3}$$
 (1)

В водном растворе при 25° С и I = 0.2 М (NaCl) $\lg K_{Hi} = 9.58 \ (i = 1), 8.76 \ (i = 2), 3.58 \ (i = 3), 2.58$ (i=4) [12]. Величины $K_{\rm H1}$ и $K_{\rm H2}$ относятся к протонированию $-{\rm S}^-$ - и $-{\rm NH_2}$ -групп, $K_{\rm H3}$ и $K_{\rm H4}$ карбоксильных групп. В координации к золоту(I) участвует только $-S^-$ -группа, остальные (-NH, и две $-CO_2^-$) остаются свободными и могут присоединять ионы Н+. Из величин констант следует, что карбоксильные группы -СО, протонируются только в кислой области. В нейтральной области у свободного глутатиона протонированы амино- и тиольная $(-NH_3^+, -SH)$ группы, у комплексов – только аминогруппа, поскольку тиольная занята в координации. Константа протонирования группы – NH, в комплексах на 0.7 лог. ед. выше, чем у свободного глутатиона, что связано с высокими отрицательными зарядами комплексов. В дальнейшем для глутатиона и комплексов обозначения GS^* и $Au_n(GS)_n^*$ (без указания заряда) будут относиться к сумме форм разной степени протонирования, например $[GS^*] = [GS^{3-}] + [GSH^{2-}] + [GSH_2^{-}] + \dots$

В кислой среде (pH 2–5) при $C_{\rm GS}/C_{\rm Au}>0.9$ взаимодействие ${\rm AuCl_2^-}$ с ${\rm GSH_3}$ приводит к образованию белого осадка $(-{\rm Au(GSH_2)}-)_n$ [12], который растворяется при добавлении щелочи. При $C_{\rm GS}/C_{\rm Au}=1$ и pH >5.5 в растворе присут-

ствует основная форма $\operatorname{Au}_n(\operatorname{GSH})_n^{-n}$ с протонированными $-\operatorname{NH}_2$ - и депротонированными $-\operatorname{CO}_2^-$ -группами.

Масс-спектрометрические измерения. отмечено выше, основную роль в установлении строения (-AuTM-) $_{n}^{-2n}$ (миокризина) в растворе сыграли масс-спектрометрические исследования. Однако если тиомалатный комплекс с ТМ/ Au = 1/1 хорошо растворим в воде и может быть исследован практически в чистом виде без каких-либо добавок, для аналогичного комплекса с GS* есть ограничения. Во-первых, он малорастворим в кислой области. Во-вторых, при его получении из AuCl₂ раствор должен содержать NaCl во избежание быстрого диспропорционирования AuCl₂ до Au(0) и Au(III). Однако присутствие NaCl в относительно высокой концентрации резко усложняет применение масс-спектрометрии из-за влияния заряженных кластеров (NaCl) · Cl · и (NaCl) · Na · . Поэтому комплексы золота(I) с GS* получали в растворе восстановлением ${
m AuCl_4}^-$ или ${
m Au(en)_2^{3^+}}$ самим глутатионом при $X=C_{{
m GS}^*}/C_{{
m Au}}=2$ и 5 с добавкой щелочи, чтобы сохранить рН \sim 7. Такие растворы содержат целый набор форм [20, 35]: комплексные полимеры $\operatorname{Au}_{n}(GS)_{n}^{*}$, мономер $\operatorname{Au}(GS)_{2}^{*}$, комплекс золота(III) $Au(GS)_4^*$, окисленные формы тиола GSSG*, GSO₂*, GSO₂*. Это усложняло масс-спектры, тем более что каждой форме соответствовало несколько пиков, обусловленных распределением различных количеств ионов H⁺ и Na⁺ по карбоксильным и аминогруппам GS*. Серьезным осложнением была также значительная и не всегда понятная фрагментация глутатиона [36]. Например, во всех спектрах, как с GS^* , так и с TM^* , присутствовала линия с m/z= 301, которую мы приписали аддукту $Au(HS)_{2}^{-1}$ · Au(SCH₃)⁻ · 2(Na⁺, H⁺). Масс-спектры содержали большое число пиков, особенно в частях отрицательных ионов, относящихся к растворам с исходным соотношением X = 2, вследствие чего для них в расчет принимались только пики с интенсивностью выше 30%. Наиболее интенсивные наборы линий относятся к дисульфиду GSSG, другие продукты окисления глутатиона $(GSO_3^- \text{ и } GSO_2^-)$ тоже присутствуют. Для стартового комплекса $Au(en)_{2}^{3+}$ при X=5 как для положительных, так и для отрицательных ионов присутствуют наборы линий небольшой интенсивности, относящиеся к полимерным формам $Na_{i}H_{i}Au_{n}(GS)_{n+1}^{(i+j-2n-3)}$ (n = 2-4), $Na_{i}H_{i}Au_{4}(GS)_{4}^{(i+j-8)}$ и комплексу золота(III) $Na_{i}H_{i}Au(GS)_{4}^{(i+j-9)}$. При X = 2 (AuCl₄, Au(en)₂) в области отрицательных ионов присутствуют пики этих же комплексов несколько большей интенсивности. В то же время среди положительных присутствуют только пики окисленных форм тиола. Идентифицированные пики масс-спектров приведены в табл. S1 (см. Приложение).

Таким образом, несмотря на отмеченные выше трудности, в области $C_{\rm GS} > C_{\rm Au}$ масс-спектры подтверждают возможность наличия в растворе практически всех предполагаемых полимерных форм: ${\rm Au_4(GS)_4^*}$ и ${\rm Au_n(GS)_{n+1}^*}$, где n=2-4.

УФ-спектры. На рис. 1а показаны спектры растворов с переменным соотношением $X = C_{GS}/C_{Au}$ для pH 7.20. Уже из их общего вида следует, что форма спектров заметно различается для X > 1 и X < 1. Это же подтверждает зависимость $\varepsilon^* = A/lC_{\text{Au}}$ от X (рис. 16), которая резко (практически с изломом) меняет направление изменения при $X \sim 1.0-1.1$. Похожие изломы наблюдаются и для других длин волн. При других значениях рН (6.66, 6.36, 6.06) зависимости имеют аналогичный вид: излом находится в том же месте, максимальные значения $\varepsilon^* = 1750 \pm 20 \ \mathrm{M}^{-1} \, \mathrm{cm}^{-1}$ практически совпадают. Также совпадают зависимости ε^* от X при X < 1для всех рН. В области 2 > X > 1 зависимости практически линейны, но с ростом кислотности становятся более пологими.

Все эти особенности имеют объяснение. Наличие излома A при спектрофотометрическом титровании обычно означает количественное образование формы с определенным соотношением компонентов (например, 1/1). При значительном вкладе других форм или небольших константах образования излом отсутствует и наблюдается плавный переход. Различие формы спектров при X < 1и X > 1 вызвано очень разным составом комплексов: при недостатке GS³⁻ преобладают формы Cl-Au-GS-...-Au-Cl*, при избытке -GS-Au-GS...-Au-GS* и некоторое количество Au(GS)^{*}. В переходной области существует форма состава $1/1 \text{ Au}_n(GS)_n^*$, для которой, по данным MC, n = 4. Одинаковая зависимость ε^* от X при X < 1 для растворов с разным рН (7.20-6.06) свидетельствует об очень высокой устойчивости соответствующих полимерных форм. При $\lambda = 330$ нм (рис. 1) поглощают только полимерные формы, а $Au(GS)_2^*$ и GS^* не поглощают. Снижение величины $\varepsilon^{\tilde{*}}$ с ростом Xпри X > 1 обусловлено постепенным переходом

полимерных комплексов в форму $\mathrm{Au}(\mathrm{GS})_2^*$. Однако касательные к зависимостям A/C_{Au} от X даже при рН 7.20 пересекают ось X при значениях X>2.0, что указывает на присутствие в системе свободного GS^* . В рассматриваемой области рН карбоксильные группы лиганда депротонированы, и основными формами комплексов являются $\mathrm{Au}_n(\mathrm{GSH})_m^{n-2m}$ (m=n+1 или n) и $\mathrm{Au}(\mathrm{GSH})_2^{3-}$ с протонированными аминогруппами, а свободного лиганда — GSH_2^- с протонированными амино- и тиольной группами. Уменьшение наклона зависимости A/C_{Au} от X при снижении рН свидетельствует о снижении доли $\mathrm{Au}(\mathrm{GSH})_2^{3-}$ при $C_{\mathrm{GS}}=$ const вследствие сдвига равновесий, например

$$(1/n)$$
Au_n(GSH)_n⁻²ⁿ + GSH₂⁻ =
= Au(GSH)₂³⁻ + H⁺, (2)

влево. В более кислой области эти сдвиги еще больше, и *бис*-тиолатная форма $\operatorname{Au}(RS)_2^*$ там практически не проявляется. В то же время устойчивость полимерных форм настолько высока, что на их образование снижение рН практически не влияет.

В области недостатка $GS^*(X < 1)$ касательная к зависимости ε^* от X пересекает ось X вблизи X = 0, т.е. из-за очень высокой устойчивости форм в этой области, свободного GS^* здесь практически нет.

Как следует из данных на рис. 1, при X > 1форма спектров изменяется мало. Не изменяется она и при снижении рН: на рис. 2 показаны УФ-спектры растворов с разными значениями рН, но одинаковым поглощением при $\lambda = 330$ нм. Наблюдается их полное совпадение, кроме области низких длин волн, где заметно поглощает $\operatorname{Au}(\operatorname{GS})_2^*$. Это совпадение могло бы указывать на то, что при изменении рН относительное содержание различных полимерных форм не изменяется. Однако в общем случае это невозможно, поскольку их концентрации связаны равновесиями, например $0.25 \text{ Au}_4(\text{GS})_4^* + \text{Au}(\text{GS})_2^* = \text{Au}_2(\text{GS})_3^*$. Как показано выше, концентрация Au(GS), с уменьшением рН значительно снижается, что должно приводить к изменению концентраций и полимерных форм. Таким образом, либо в рассматриваемой области доминирует одна полимерная форма, а остальные присутствуют в малых количествах, либо все полимерные формы имеют близкие спектры (на один атом Au(I)) и мало

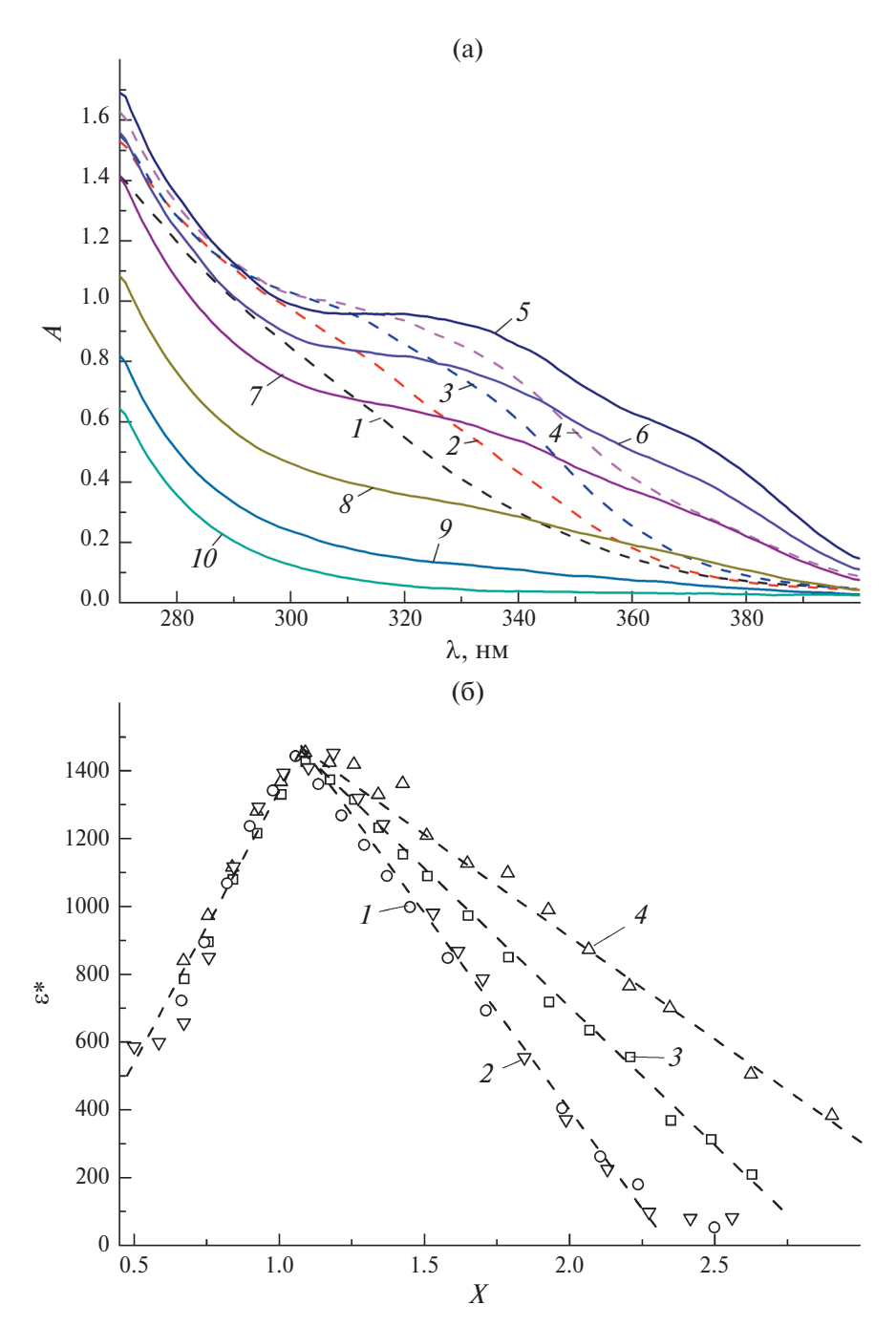


Рис. 1. а) УФ-спектры растворов для рН 7.20. $C_{\rm Au}=(7.0-5.4)\times 10^{-4}, C_{\rm GS}=(3.5-13.9)\times 10^{-4}$ М. X=0.5 (I), 0.75 (2), 0.84 (3), 0.93 (4), 1.19 (5), 1.36 (6), 1.53 (7), 1.84 (8), 2.13 (9), 2.56 (I0). б) зависимости ε^* (= $A/IC_{\rm Au}$) от X (= $C_{\rm GS}/C_{\rm Au}$) для рН: 7.20 (I), 6.66 (2), 6.36 (3), 6.06 (4)

различимы в спектрофотометрическом исследовании.

Такой же результат следует из разложения спектров на гауссовы полосы [16]. Хотя при наличии многих форм такое разложение имеет чисто формальный характер, в данном случае оказалось, что спектры всех рас-

творов с X>0.85 состоят из практически одинаковых полос ($\mathbf{v}_{10}=(30.2\pm0.2)\times10^3$, $\mathbf{v}_{20}=(26.8\pm0.2)\times10^3$, $\mathbf{v}_{30}=(40.5\pm0.5)\times10^3$ см $^{-1}$), интенсивности которых изменяются пропорционально. Только в области X<0.85 характеристики полос резко изменяются ($\mathbf{v}_{10}=(29.5\pm0.5)\times10^3$, $\mathbf{v}_{20}=(32.3\pm0.5)\times10^3$ см $^{-1}$), что связано с резким изменением состава комплексов (см. выше).

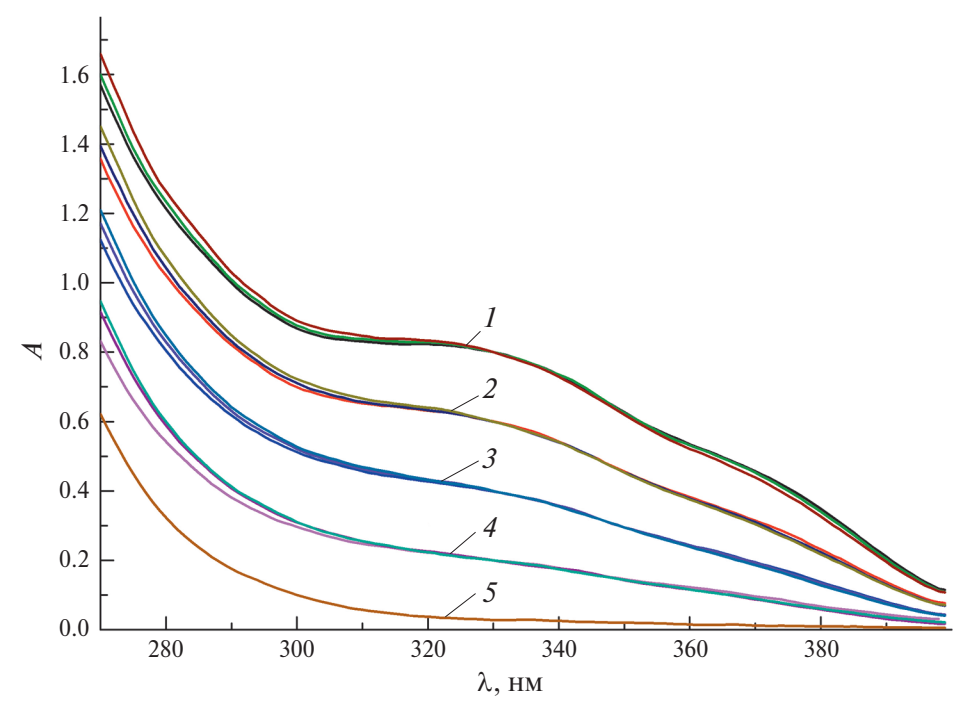


Рис. 2. Спектры растворов, имеющих разный рН (6.66, 6.36, 6.06), но одинаковое поглощение A_{330} при $\lambda=330$ нм. $A_{330}=0.800$ (I), 0.600 (I), 0.600 (I), 0.400 (I), 0.400 (I), 0.200 (I)

Тем не менее, несмотря на сходство спектров, более точное рассмотрение показало, что при используемых в эксперименте соотношениях $X = C_{\rm GS}/C_{\rm Au} > 0.5$ и рН 7.20—6.06 для представления в пределах ошибок ($s_{\rm A} < 0.01$) всех спектров в диапазоне $\lambda = 270-400$ нм требуется линейная комбинация не 3-х, а 4-х независимых (базисных) спектров, включая спектр $A(\lambda)_1$ раствора с минимальным X (\sim 0.5) и спектр $A(\lambda)_2$ мономерного $Au(GS)_2^*$. При этом спектр $A(\lambda)_1$ требуется только в области X < 0.9. Примеры описаний спектров показаны на рис. 3.

Обычный вывод из подобной обработки заключается в том, что найденное число линейно независимых спектров равно числу поглощающих свет форм. При этом подразумевается уникальность их спектров. Однако в данном случае, принимая во внимание результаты МС (см. выше) о наличии многих форм, мы вынуждены заключить, что УФ-спектры различных форм (по нашему мнению, линейных полимеров $\operatorname{Au}_n(GS)_{n+1}^*$) близки в расчете на один атом Au , и их вклад в поглощение A при разложениях эффективно передается одним из четырех спектров.

Для полного количественного описания системы требуется набор констант устойчивости для каждого комплекса. Формально для их определения требуется присутствие в материальном ба-

лансе системы как самих комплексных форм, так и GS^* , что выполняется при X>1. Однако вследствие большого количества форм и малой различимости спектров для некоторых из них определение такого полного набора констант невозможно. Тем не менее некоторые расчеты были выполнены. Рассматриваемые равновесия имели вид:

$$(0.25m) \operatorname{Au}_{4}(GSH)_{4}^{4-} + GSH_{2}^{-} = = \operatorname{Au}_{m}(GSH)_{m+1} + H^{+}, K_{m, m+1}.$$
(3)

Равновесие с m=1 было основным и присутствовало во всех вариантах. К нему добавляли равновесия образования других форм с $m_{\text{доб}}=2$, 3, 4. Обработку проводили для известных C_{Au} , C_{GS} , A_{330} при помощи нелинейного МНК [13] ($S^2=\Sigma(A_{_{9\text{КСП}}}-A_{_{pacq}})^2\to\min$), приняв на основании данных рис. 1, что для полимеров $\varepsilon_{330}=1450$ М $^{-1}$ см $^{-1}$ на один атом Au. Спектр Au(GSH) $_2^{3-}$ был получен отдельно при большом избытке GS*. Результаты приведены в табл. 1.

В последней колонке приведены величины остаточных сумм квадратов S^2_{\min} . Статистически значимым (по критерию Фишера для $P_{\text{дов}} = 0.95$) в данном случае является различие S^2_{\min} приблизительно в два раза. Следовательно, первая модель, содержащая только формы $\text{Au}_4(\text{GS})_4^*$ и $\text{Au}(\text{GS})_7^*$, дает значительно

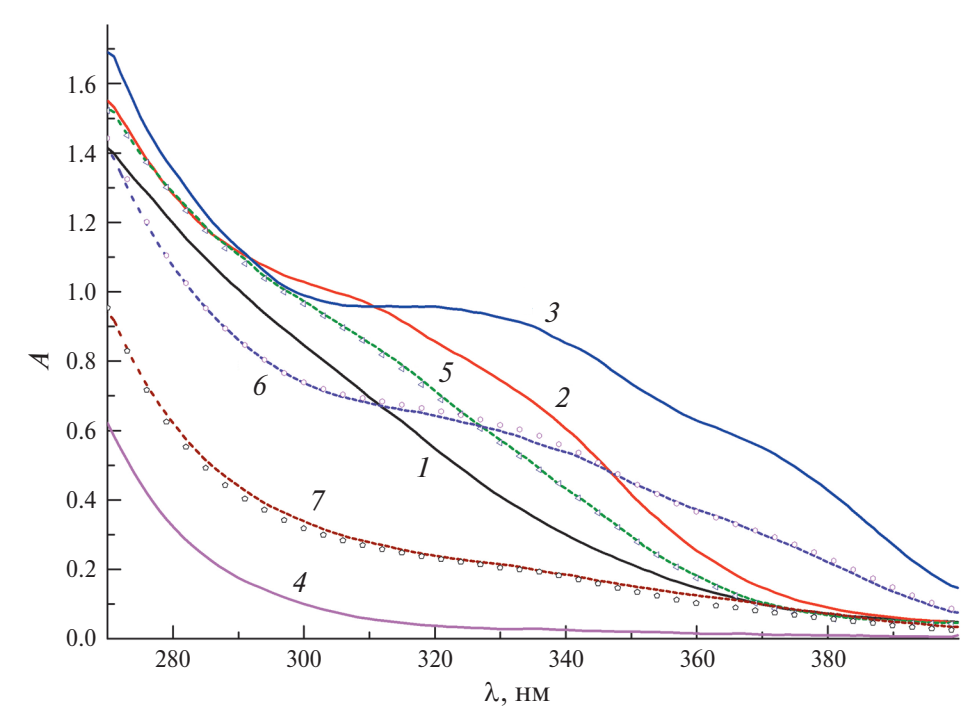


Рис. 3. Примеры разложений спектров, рН 7.20. Базисные спектры (C_{Au} (10^{-4} M), X): 7.0, 0.50 (I); 6.7, 0.84 (2); 6.4, 1.19 (3); 4—спектр Au(GS) $_2^*$ (5.0 × 10^{-4} M). Разлагаемые спектры (значки — расчет): 6.75, 0.75 (5); 6.11, 1.53 (6); 5.79, 2.0 (7). $X = C_{\text{GS}}/C_{\text{Au}}$. I = 1 см

худшее описание эксперимента по сравнению с моделями, включающими дополнительные формы, и должна быть отброшена. Однако вид добавляемого равновесия (3) (введение формы $\operatorname{Au}_2(\operatorname{GS})_3^*$, $\operatorname{Au}_3(\operatorname{GS})_4^*$ или $\operatorname{Au}_4(\operatorname{GS})_5^*$) практически не имел значения — добавление любого из них резко улучшало описание, но не давало значимого различия S^2_{\min} между ними. Этот результат согласуется с выводом, сделанным выше о неразличимости форм. Тем не менее, величины $\operatorname{Ig} K_{12}$ устойчивы во всех вариантах (кроме первого), среднее равно $\operatorname{Ig} K_{12} = -4.4 \pm 0.1$. Пере-

Таблица 1. Результаты расчетов констант равновесий (3)

pН	т доб	$-\lg(K_{12})$	$-\lg(K_{m,m+1})$	$S^2_{ m min}$
7.20	_	5.7	_	7×10^{-2}
	2	4.3	3.3	1.6×10^{-2}
	3	4.5	1.8	8×10^{-3}
	2 + 3	4.5	4.2 + 1.9	7.5×10^{-3}
	4	4.3	-1.3	5.9×10^{-3}
6.66	2	4.3	3.3	9×10^{-3}
	3	4.5	2.2	1.6×10^{-2}
6.36	2	4.3	3.1	1.1×10^{-2}
	3	4.5	1.9	1.1×10^{-2}
6.06	2	4.3	2.8	1.7×10^{-2}
	3	4.5	1.6	1.1×10^{-2}

ходя к равновесию депротонированных форм, 0.25 ($\mathrm{Au_4GS_4}$)⁸⁻ + $\mathrm{GS^{3-}}=\mathrm{Au(GS)_2^{5-}}$, K_{GS} , и учитывая, что для комплексов и свободного глутатиона $\mathrm{lg}K_{\mathrm{H}}=9.5$ и $\mathrm{lg}K_{\mathrm{1H}}K_{\mathrm{2H}}=18.34$ [12], получим $\mathrm{lg}K_{\mathrm{GS}}=4.4$, что вполне сравнимо с аналогичной величиной $\mathrm{lg}K_{\mathrm{TM}}=4.9$ для тиомалатных комплексов, определенной потенциометрически [13].

Практически важным является вопрос о том, какая часть золота(I) находится в форме полимеров ($\alpha_{\rm p}=C_{\rm Au~p}/C_{\rm Au}$), а какая в мономерной форме ([Au(GS) $_2^*$]/ $C_{\rm Au}$) при данных $C_{\rm Au}$, $C_{\rm GS}$ и рН. Результат получается близким для расчетов с любым набором констант из табл. 1, включая первый. Так, для одного из экспериментов ($C_{\rm Au}=6.1\times10^{-4},~C_{\rm GS}=9.8\times10^{-4}$ М и рН 7.4) получается $\alpha_{\rm p}=0.60\pm0.04$. В то же время расчет $C_{\rm Au~p}$ из спектра (например, $A_{\rm 330}/\varepsilon_{\rm p}$, где $\varepsilon_{\rm p}=1450~{\rm M}^{-1}~{\rm cm}^{-1}$) дает близкую величину $\alpha_{\rm p}=0.57$.

Из величины $\lg K_{12} = -4.4$ следует, что при рН 7.4 в условиях биологических экспериментов, когда в цитоплазме $C_{\rm GS} \sim 10^{-3}$ М и $C_{\rm Au} \sim 2 \times 10^{-5}$ М, основная форма золота(I) — это ${\rm Au(GS)_2}^*$, а концентрация ${\rm Au_4(GS)_4}^*$ лежит на уровне 10^{-18} М.

В области $C_{\rm GS}/C_{\rm Au} < 1$ из-за высокой устойчивости комплексов концентрация свободного

 GS^* крайне низкая. Судя по тому, что в большей части этой области все спектры являются линейной комбинацией всего двух линейно независимых спектров, там в основном присутствуют две поглощающие формы. Вероятно, что это $Au_0GSCl_2^*$ и $Au_4GS)_4^*$.

ЗАКЛЮЧЕНИЕ

В водном растворе вид полимерных комплексов золота(I) с GS* определяется концентрациями C_{AII} и C_{GS} . Кислотность в основном влияет на количество мономерного бис-тиолата $Au(GS)_2^*$. При $C_{\rm GS} < C_{\rm Au}$ возможно образование линейных полимеров типа $\mathrm{Au}_n(\mathrm{GS})_{n-1}\mathrm{Cl}_2^*$ с концевым расположением хлорид-ионов, а при $C_{\mathrm{GS}}>C_{\mathrm{Au}}$ линейных полимеров с избыточным числом тиолатных лигандов $\operatorname{Au}_n(\operatorname{GS})_{n+1}^*$. По данным массспектрометрии, максимальная величина n = 4. В переходной области существует основной полимер состава $Au_4(GS)_4^*$. На основании результатов использованных методов мы не можем точно утверждать, является ли этот комплекс линейным или циклическим. В случае линейного строения он должен иметь концевой ион Cl⁻, т.е. иметь вид Au₄(GS)₄Cl*, хотя в условиях значительного постоянного избытка NaCl присутствие хлоридного лиганда в составе комплекса не выявляется. Тем не менее циклическое тетрамерное строение более вероятно, на что указывают те же аргументы, что использовались для доказательства шиклического строения тиомалатного комплекса. Близки и константы образования $Au_4TM_4^{8-}$ и $Au_4(GS)_4^{8-}$. Однако есть и отличия. Так, УФ-спектр $Au_4TM_4^*$ заметно изменяется при снижении рН [13], в то время как для $Au_4(GS)_4^*$ изменения не отмечены. Вероятно, это связано с более близким к атому S и координационному узлу расположением протонируемых групп –СО, в ТМ*. Другое очевидное отличие связано с отсутствием – NH₂-группы в ТМ* по сравнению с GS*, что приводит к различию в протонировании комплексов и в общих зарядах. В области $C_{\mathrm{RS}} < C_{\mathrm{Au}}$ для $\mathrm{RS} = \mathrm{TM}$ форма и положение УФ-спектра не изменяются, а его интенсивность снижается пропорционально $C_{\scriptscriptstyle \mathrm{TM}}$, что указывает на присутствие в системе только $Au_{A}TM_{A}^{*}$ и $AuCl_{A}^{-}$. Для $RS = GS^{*}$ анализ формы спектров (рис. 1) и отсутствие осадка в кислой области при X < 0.9 свидетельствуют об образовании дополнительной к Au₄(GS)₄* формы, которая в самом простом случае может иметь состав Cl-Au-GS-Au-Cl*.

При X>1 близость УФ-спектров полимерных форм на один атом золота(I) позволяет в первом приближении определять его общую концентра-

цию в составе полимерных форм, используя обобщенный коэффициент экстинкции $\varepsilon_{\rm p},\,C_{\rm Aup}=A/l\varepsilon_{\rm p}.$ Это может быть полезно при количественном анализе результатов исследований, особенно когда полимерные тиолаты получают восстановлением комплексов золота(III). Кроме того, результаты данной работы могут быть полезны для оптимизации и объяснения процессов получения функциональных люминесцентных материалов.

ФИНАНСИРОВАНИЕ РАБОТЫ

Работа поддержана Министерством науки и высшего образования Российской Федерации, проект № 121031700315-2.

КОНФЛИКТ ИНТЕРЕСОВ

Авторы заявляют, что у них нет конфликта интересов.

ДОПОЛНИТЕЛЬНАЯ ИНФОРМАЦИЯ

Онлайн-версия содержит дополнительные материалы, доступные по адресу https://doi.org/10.31857/S0044457X24100117

СПИСОК ЛИТЕРАТУРЫ

- 1. *Shaw III C.F.* // Chem. Rev. 1999. V. 99. P. 2589. https://doi.org/10.1021/cr9804310
- Singh N., Sharma R., Bharti R. // Mater. Today: Proc. 2023. V. 81. P. 876. https://doi.org/10.1016/j.matpr.2021.04.270
- Darabi F., Marzo T., Massai L. et al. // J. Inorg. Biochem. 2015. V. 149. P. 102. https://doi.org/10.1016/j.jinorgbio.2015.03.013
- Vaidya S., Hawila S., Zeyu F. et al. // ACS Appl. Mater. Interfaces. 2024. V. 16. P. 22512. https://doi.org/10.1021/acsami.4c01958
- 5. *Голованова С.А., Садков А.П., Шестаков А.Ф. //* Кинетика и катализ. 2020. Т. 61. № 5. С. 664. https://doi.org/10.31857/S0453881120040097
- Zhang Q., Wang J., Meng Z. et al. // Nanomaterials. 2021. V. 11. P. 2258. https://doi.org/10.3390/nano11092258
- Brinas R.P., Hu M., Qian L. et al. // J.Am. Chem. Soc. 2008. V. 130. P. 975. https://doi.org/10.1021/ja076333e
- Luo Z., Yuan X., Yu Y. et al. // J.Am. Chem. Soc. 2012.
 V. 134. P. 16662. https://doi.org/10.1021/ja306199p
- Veselska O., Vaidya S., Das C. et al. // Angew. Chem. Int. Ed. Engl. 2022. V. 61. P. e202117261. https://doi.org/10.1002/anie.202117261
- Ao H., Feng H., Li K. et al. // Sens. Actuators B: Chem. 2018. V. 272. P. 1. https://doi.org/10.1016/j.snb.2018.05.151

- Vaidya S., Veselska O., Zhadan A. et al. // Chem. Sci. 2020. V. 11. P. 6815. https://doi.org/10.1039/D0SC02258F
- 12. *Mironov I.V., Kharlamova V.Yu.* // J. Solution Chem. 2020. V. 49. P. 583. https://doi.org/10.1007/s10953-020-00994-0
- 13. *Mironov I.V., Kharlamova V.Yu.* // J. Solution Chem. 2018. V. 47. P. 511. https://doi.org/10.1007/s10953-018-0735-y
- Block B.P., Bailar J.C. // J.Am. Chem. Soc. 1951.
 V. 73. P. 4722.
 https://doi.org/10.1021/ja01154a071
- 15. *Берштейн И.Я., Каминский Ю.Л.* Спектрофотометрический анализ в органической химии. Л.: Химия. 1986. 198 с.
- Mironov I.V., Tsvelodub L.D. // J. Appl. Spectrosc. 1997. V. 64. P. 470. https://doi.org/10.1007/BF02683888
- 17. *Howell J.A.S.* // Polyhedron. 2006. V. 25. P. 2993. https://doi.org/10.1016/j.poly.2006.05.014
- 18. *Mironov I.V., Kharlamova V.Yu., Makotchenko E.V.* // Biometals. 2024. V. 37. P. 233. https://doi.org/10.1007/s10534-023-00545-2
- Veselska O., Okhrimenko L., Guillou N. et al. // J. Mater. Chem. C. 2017. V. 5. P. 9843. https://doi.org/10.1039/c7tc03605a
- Mironov I.V., Kharlamova V.Yu. // Inorg. Chim. Acta. 2021. V. 525. P. 120500. https://doi.org/10.1016/j.ica.2021.120500
- Wojnowski W., Becker B., Saβmannshausen J. et al. // Z. Anorg. Allg. Chem. 1994. V. 620. P. 1417. https://doi.org/10.1002/zaac.19946200816
- Bonasia P.J., Gindelberger D.E., Arnold J. // Inorg. Chem. 1993. V. 32. P. 5126. https://doi.org/10.1021/ic00075a031
- 23. Wiseman M.R., Marsh P.A., Bishop P.T. et al. // J.Am. Chem. Soc. 2000. V. 122. P. 12598. https://doi.org/10.1021/ja0011156

- 24. *Chui S.S.-Y.*, *Chen R.*, *Che C.-M.* // Angew. Chem. Int. Ed. 2006. V. 45. P. 1621. https://doi.org/10.1002/anie.200503431
- Schröter I., Strähle J. // Chem. Ber. 1991. V. 124.
 P. 2161.
 https://doi.org/10.1002/cber.19911241003
- Lavenn C., Okhrimenko L., Guillou N. et al. // J. Mater. Chem. C. 2015. V. 3. P. 4115. https://doi.org/10.1039/c5tc00119f
- 27. *Bau R.* // J.Am. Chem. Soc. 1998. V. 120. P. 9380. https://doi.org/10.1021/ja9819763
- 28. *LeBlanc D.J., Smith R.W., Wang Z. et al.* // J. Chem. Soc. Dalton Trans. 1997. P. 3263. https://doi.org/10.1039/A700827I
- Elder R.C., Jones W.B., Zhao Z. et al. // Met. Based Drugs. 1994. V. 1. P. 363. https://doi.org/10.1155/MBD.1994.363
- 30. *Mazid M.A., Razi M.T., Sadler P.J. et al.* // J. Chem. Soc., Chem. Commun. 1980. P. 1261. https://doi.org/10.1039/C39800001261
- 31. *Howard-Lock H.E., LeBlanc D.J., Lock C.J.L. et al.* // Chem. Commun. 1996. P. 1391. https://doi.org/10.1039/CC9960001391
- Howard-Lock H.E. // Met. Based Drugs. 1999. V. 6.
 P. 201. https://doi.org/10.1155/MBD.1999.201
- 33. *Isab A.A.*, *Sadler P.J.* // J. Chem. Soc., Dalton Trans. 1981. P. 1657. https://doi.org/10.1039/DT9810001657
- Isab A.A., Ahmad S. // Spectroscopy. 2006. V. 20. P. 109. https://doi.org/10.1155/2006/314052
- 35. *Mironov I.V., Kharlamova V.Yu.* // ChemistrySelect. 2023. V. 8. P. e202301337. https://doi.org/10.1002/slct.202301337
- 36. *Feng S., Zheng X., Wang D. et al.* // J. Phys. Chem. A. 2014. V. 118. P. 8222. https://doi.org/10.1021/jp501015k

ON POLYMER COMPLEXES OF GOLD(I) WITH GLUTATHIONE IN AQUEOUS SOLUTION

I. V. Mironov^{a, *}, V. Yu. Kharlamova^a

^aNikolaev Institute of Inorganic Chemistry, Siberian Branch, Russian Academy of Sciences, Novosibirsk, 630090 Russia *e-mail: imir@niic.nsc.ru

Processes involving gold(I) glutathionate complexes in aqueous solution at $t=25^{\circ}\mathrm{C}$ and I=0.2 M (NaCl) in the pH range 7.20–6.06 ($C_{\mathrm{Au}}=(5-10\times10^{-4}\,\mathrm{M})$) were studied. Using mass spectrometry, it was shown that at $C_{\mathrm{GS}}>C_{\mathrm{Au}}$, in addition to monomeric $\mathrm{Au}(\mathrm{GS})_2^*$, there can exist polymeric forms $\mathrm{Au}_4(\mathrm{GS})_4^*$, as well as $\mathrm{Au}_n(\mathrm{GS})_{n+1}^*$, where $n\leqslant 4$, the symbol * means the sum of forms of different degrees of protonation. From UV spectroscopy it follows that in the entire region of $0.5 < C_{\mathrm{GS}}/C_{\mathrm{Au}} < 3$, spectra of four forms, including $\mathrm{Au}(\mathrm{GS})_2^*$, are sufficient to describe all spectra within experimental errors in the form of a linear combination. As pH decreases, the proportion of $\mathrm{Au}(\mathrm{GS})_2^*$ decreases. The equilibrium constant $0.25\,\mathrm{Au}_4(\mathrm{GSH})_4^{4-} + \mathrm{GSH}_2^{-} = \mathrm{Au}(\mathrm{GSH})_2^{3-} + \mathrm{H}^+$ is equal to $\mathrm{Ig}K = -4.4 \pm 0.1$ ($I=0.2\,\mathrm{M}$, NaCl).

Keywords: gold(I) compounds, thiols, polynuclear complexes